

表 1

1. 基变换	$e = Ai$	$t = Be$	$e^T = t^TQ$	$t^T = e^TP$
2. 矢量的坐标变换	$v^{(e)} = Av^{(i)}$	$v^{(i)} = Bv^{(e)}$	$v^{(e)T} = v^{(i)T}Q$	$v^{(i)T} = v^{(e)T}P$
3. 并矢的坐标变换	$D^{(e)} = AD^{(i)}A^T$	$D^{(i)} = BD^{(e)}B^T$	$D^{(e)} = Q^TD^{(i)}Q$	$D^{(i)} = P^TD^{(e)}P$
4. 矢量的变换	$v^{(i)} = AV^{(i)}$ $v^{(e)} = AV^{(e)}$	$Bv^{(i)} = V^{(i)}$ $Bv^{(e)} = V^{(e)}$	$Qv^{(i)} = V^{(i)}$ $Qv^{(e)} = V^{(e)}$	$v^{(i)} = PV^{(i)}$ $v^{(e)} = PV^{(e)}$
5. 转动的合成 { 绕连体轴 绕固定轴 }	$A = A_1A_2 \dots A_n$ $A = A_1A_2 \dots A_n$	$B = B_1B_2 \dots B_n$ $B = B_1B_2 \dots B_n$	$Q = Q_1Q_2 \dots Q_n$ $Q = Q_1Q_2 \dots Q_n$	$P = P_1P_2 \dots P_n$ $P = P_1P_2 \dots P_n$

### 3. 刚体有限转动顺序的颠倒

设过固定点  $\circ$  有  $n$  条轴线  $L_1, L_2, \dots, L_n$ , 这  $n$  条轴线可视需要解释为连体轴或固定轴。刚体绕  $L_i$  作有限转动, 转角为  $\varphi_i$ , 相应的方向余弦矩阵为  $A_i$  ( $i = 1, 2, \dots, n$ )。如上所述, 当  $L_i$  为连体轴时,  $A_i$  在连体基上写出; 当  $L_i$  为固定轴时,  $A_i$  在固定基上表示。则

$$A = A_1A_2 \dots A_n$$

表明, 刚体依次绕连体轴  $L_1, L_2, \dots, L_n$  转动的结果, 与按相反的顺序, 依次绕固定轴  $L_n, L_{n-1}, \dots, L_1$  转动的结果相同。

$$A = A_nA_{n-1} \dots A_1$$

表明, 刚体依次绕固定轴  $L_1, L_2, \dots, L_n$  转动的结果, 与按相反的顺序, 依次绕连体轴  $L_n, L_{n-1}, \dots, L_1$  转动的结果相同。

刚体绕固定点。按一定顺序作相继有限转动的最终结果, 与颠倒其转动顺序而进行这一系列相继有限转动的最终结果, 一般地是不同的。而上述结果说明, 如果在颠倒转动顺序的同时, 改变转轴所连的基, 可以得到相同的最终结果。

### 4. 刚体的复位

设有过固定点  $\circ$  的  $n$  根连体轴线  $L_1, L_2, \dots, L_n$ ;

和  $n$  根固定轴线  $L'_1, L'_2, \dots, L'_n$ , 在刚体转动前,  $L'_i$  与  $L_i$  ( $i = 1, 2, \dots, n$ ) 重合。刚体绕  $L_i$  或  $L'_i$  的转角为  $\varphi_i$ , 沿应的方向余弦矩阵为  $A_i$ , 不同的是, 绕  $L_i$  时  $A_i$  在连体基上写出, 绕  $L'_i$  时  $A_i$  在固定基上写出。三阶单位阵记作  $E$ , 则

$$A_1A_2 \dots A_nA_1^TA_2^T \dots A_{n-1}^TA_n^T = E$$

表明, 刚体顺序地绕连体轴  $L_1, L_2, \dots, L_n$  分别转  $\varphi_1, \varphi_2, \dots, \varphi_n$  角, 然后再顺序地绕固定轴  $L'_1, L'_2, \dots, L'_n$  按相反方向转  $\varphi_1, \varphi_2, \dots, \varphi_n$  角, 刚体将回复到原位。

$$A_1^TA_2^T \dots A_n^TA_1A_2 \dots A_n = E$$

表明, 刚体顺序地绕固定轴  $L'_1, L'_2, \dots, L'_n$  分别转  $\varphi_1, \varphi_2, \dots, \varphi_n$  角, 然后再顺序地绕连体轴  $L_1, L_2, \dots, L_n$  按相反方向转  $\varphi_1, \varphi_2, \dots, \varphi_n$  角, 刚体将回复到原位。

### 参 考 文 献

- [1] 周起釗, 多刚体系统动力学(讲义), 北京大学(1984).
- [2] 贾书惠, 刚体动力学, 高等教育出版社(1987).
- [3] 刘延柱、洪嘉振、杨海兴, 多刚体系统动力学, 高等教育出版社(1989).
- [4] Kane, T. R., Likins, P. W., Levinson, D. A., Spacecraft dynamics, McGraw-Hill Book Company (1983).

(本文于 1991 年 5 月 22 日收到)

## 关于壳体非线性应变分量的教学探讨

肖 芳 淳

(西南石油学院, 四川南充, 637001)

壳体非线性应变分量的研究十分重要, 文[1]在这方面作了许多工作, 但其在推导壳体非线性应变分量的一般公式时, 对略去“微量”后是否会影响公式的一般性未作说明, 因而文[2]给予补充, 借助张量分析, 得到了正交曲线坐标系下壳体非线性应变分量的表达式, 使其更加完整, 所得结果与文[3]完全相符。如学生对张量分析比较陌生, 按这种分析方法讲解, 就会使学生知其然不知其所以然。为了防止学生囫囵吞枣, 发挥其主体作用, 本文采用了另一种讲法, 达到了预期

效果。现把这种讲法介绍如下。

本文作者认为讲授这个内容时, 先从正交曲线坐标系谈起, 然后介绍基矢与度规, 接着再讲正交曲线坐标中的应变张量, 最后推导出壳体非线性应变分量的表达式, 并以平板为例说明应用。

### 1. 正交曲线坐标系

设  $ox_1x_2x_3$  为笛卡儿坐标系, 则任意点  $P$  的坐标可用  $P(x_1, x_2, x_3)$  表示。另外在  $P$  点有一正交曲线坐标系(图 1),  $P$  点坐标用  $P(\alpha_1, \alpha_2, \alpha_3)$  表示。当然  $\alpha$

坐标是  $x$  坐标的函数

$$\alpha_i = \alpha_i(x_1, x_2, x_3) (i = 1, 2, 3) \quad (1)$$

相反地,  $x$  坐标也是  $\alpha$  坐标的函数, 即

$$x_i = x_i(\alpha_1, \alpha_2, \alpha_3) (i = 1, 2, 3) \quad (2)$$

图 1 中,  $\alpha_1 = c_1$  表示曲面  $S_1$ ,  $\alpha_2 = c_2$  表示曲面  $S_2$ ,  $\alpha_3 = c_3$  表示曲面  $S_3$ 。而曲面  $S_1$  和曲面  $S_2$  的交截线是坐标线  $\alpha_1$ , 沿这条线, 只有坐标值  $\alpha_1$  在变化; 其余类同, 在此不赘。

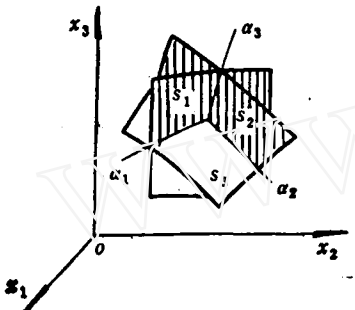


图 1

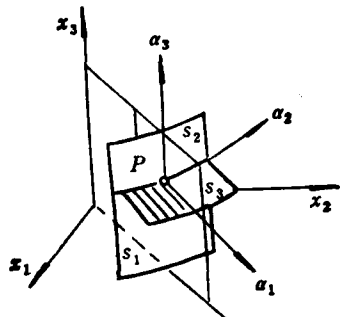


图 2

## 2. 基矢与度规

在曲线坐标系中, 首先要了解如何度量长度。比如沿坐标线  $\alpha_i$  (图 3), 由  $P$  点到  $A$  点坐标值的变化是

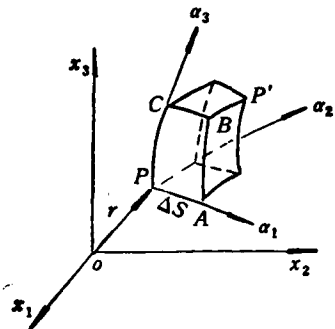


图 3

$\Delta\alpha_1$ , 一般不等于弧长  $\widehat{PA}$ , 而是当  $\widehat{PA}$  很小时,  $\widehat{PA} = \Delta\alpha_1 \cdot g_1$ , 式中  $g_1$  是  $P$  点沿坐标线  $\alpha_1$  的基矢, 其大小、方向均随  $P$  点的位置而改变,  $g_1$  沿  $P$  点坐标线  $\alpha_1$  的

切线方向。

沿坐标线  $\alpha_i$

$$\begin{aligned} \frac{\partial r}{\partial \alpha_i} &= \lim_{\Delta \alpha_i \rightarrow 0} \frac{\Delta r}{\Delta \alpha_i} = \lim_{\Delta \alpha_i \rightarrow 0} \frac{PA}{\Delta \alpha_i} \\ &= \lim_{\Delta \alpha_i \rightarrow 0} \frac{\Delta \alpha_i \cdot g_i}{\Delta \alpha_i} = g_i \end{aligned} \quad (3)$$

所以定义

$$g_i = \lim_{\Delta \alpha_i \rightarrow 0} \frac{\Delta r}{\Delta \alpha_i} = \frac{\partial r}{\partial \alpha_i} (i = 1, 2, 3) \quad (4)$$

其大小为

$$g_i = \lim_{\Delta \alpha_i \rightarrow 0} \frac{PA}{\Delta \alpha_i} = \lim_{\Delta \alpha_i \rightarrow 0} \frac{\Delta r}{\Delta \alpha_i} \quad (5)$$

方向沿坐标线  $\alpha_i$  增加的切线方向。

设  $r = OP = x_i e_i$  ( $i = 1, 2, 3$ ), 则有

$$dr = dx_i e_i = \frac{\partial r}{\partial \alpha_i} d\alpha_i = g_i d\alpha_i (i = 1, 2, 3)$$

式中

$$g_i = \frac{\partial r}{\partial \alpha_i} = \frac{\partial x_i}{\partial \alpha_i} e_i (i = 1, 2, 3) \quad (6)$$

同理

$$g_i = \frac{\partial r}{\partial \alpha_j} = \frac{\partial x_i}{\partial \alpha_j} e_j (i = 1, 2, 3)$$

再讲度规。所谓度规, 指的是基矢点积排列成的方阵。 $g_i$  与  $g_j$  的点积为  $g_i \cdot g_j = g_i g_j \cos \alpha$  (图 4)。若

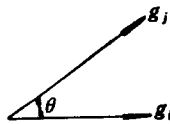


图 4

$g_i$  与  $g_i$  正交, 则有  $g_i \cdot g_i = 0$  ( $i, j = 1, 2, 3$ )。根据二阶协变张量的转换公式得知其度规系数为

$$\begin{aligned} g_{ii} &= g_i \cdot g_i = \left( \frac{\partial x_i}{\partial \alpha_i} e_i \right) \cdot \left( \frac{\partial x_i}{\partial \alpha_i} e_i \right) \\ &= \frac{\partial x_m}{\partial \alpha_i} \frac{\partial x_m}{\partial \alpha_i} (m = 1, 2, 3) \end{aligned} \quad (7)$$

写成矩阵形式有

$$(g_{ij}) = \begin{bmatrix} g_{11} & g_{12} & g_{13} \\ g_{21} & g_{22} & g_{23} \\ g_{31} & g_{32} & g_{33} \end{bmatrix}$$

在正交坐标系中, 则有

$$g_{ii} = \begin{bmatrix} g_{11} & 0 & 0 \\ 0 & g_{22} & 0 \\ 0 & 0 & g_{33} \end{bmatrix}, |g_{ii}| = g_{11} g_{22} g_{33} = g$$

最后求微分线段的长。因为  $g_{ii} = g_i \cdot g_i = g_i^2$ , 故有

$$g_i = \sqrt{g_{ii}}, g_i = \sqrt{g_{ii}}$$

因而可知沿坐标线  $\alpha_i$  的微分线段长为

$$ds_i = g_i d\alpha_i = \sqrt{g_{ii}} d\alpha_i, \quad ds_j = \sqrt{g_{jj}} d\alpha_j$$

由此可得

$$\begin{aligned} ds^2 &= dr \cdot dr = (g_i d\alpha_i)(g_j d\alpha_j) \\ &= g_i \cdot g_j d\alpha_i d\alpha_j = g_{ij} d\alpha_i d\alpha_j \end{aligned} \quad (8)$$

若从笛卡尔坐标系来看, 则有  $x_i = x_i(\alpha_1, \alpha_2, \alpha_3)$ ,

$$dx_i = \frac{\partial x_i}{\partial \alpha_k} d\alpha_k, \text{ 故有}$$

$$\begin{aligned} ds^2 &= (dx_1)^2 + (dx_2)^2 + (dx_3)^2 = dx_i dx_i \\ &= \left( \frac{\partial x_i}{\partial \alpha_k} d\alpha_k \right) \left( \frac{\partial x_i}{\partial \alpha_l} d\alpha_l \right) = \frac{\partial x_i}{\partial \alpha_k} \cdot \frac{\partial x_i}{\partial \alpha_l} d\alpha_k d\alpha_l \\ &= g_{kl} d\alpha_k d\alpha_l = g_{ij} d\alpha_i d\alpha_j \end{aligned}$$

在上式中, 若把  $k, l$  分别换成  $i, j$ , 则与(8)式完全相同。这说明微分线段长与选取的坐标无关。

### 3. 正交曲线坐标系中的应变张量

参考图5, 线段  $MN = ds$ , 由于物体的变形, 移到了  $M^*N^* = ds^*$ , 图中  $R = r + s$ , 根据  $s_i$  的定义, 由(5)式可得

$$G_i = \frac{\partial R}{\partial \alpha_i} = \frac{\partial r}{\partial \alpha_i} + \frac{\partial s}{\partial \alpha_i} = g_i + \frac{\partial s}{\partial \alpha_i}$$

$$\text{固理 } G_i = \frac{\partial R}{\partial \alpha_i} = g_i + \frac{\partial s}{\partial \alpha_i}$$

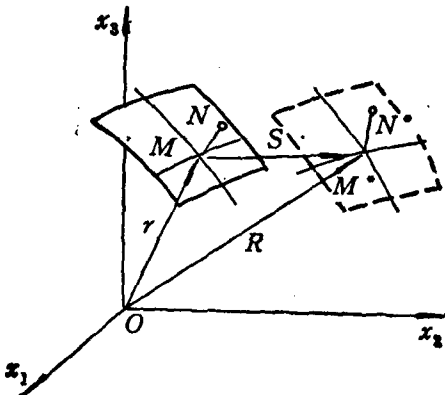


图 5

于是有

$$\begin{aligned} G_{ij} &= G_i \cdot G_j = \left( g_i + \frac{\partial s}{\partial \alpha_i} \right) \left( g_j + \frac{\partial s}{\partial \alpha_j} \right) \\ &= g_{ii} + g_i \frac{\partial s}{\partial \alpha_i} + g_j \frac{\partial s}{\partial \alpha_j} + \frac{\partial s}{\partial \alpha_i} \frac{\partial s}{\partial \alpha_j} \end{aligned}$$

现定义正交曲线坐标系中的应变, 并考虑上式, 则有

$$\begin{aligned} \epsilon_{ij} &= \frac{(ds_i^*) \cdot (ds_j^*) - (ds_i) \cdot (ds_j)}{2(ds_i) \cdot (ds_j)} \\ &= \frac{G_i d\alpha_i d\alpha_j - g_{ij} d\alpha_i d\alpha_j}{2\sqrt{g_{ii} \cdot g_{jj}} d\alpha_i d\alpha_j} \\ &= \frac{1}{2\sqrt{g_{ii} \cdot g_{jj}}} \left[ g_i \frac{\partial s}{\partial \alpha_i} + g_j \frac{\partial s}{\partial \alpha_j} \right] \end{aligned}$$

$$+ \frac{\partial s}{\partial \alpha_i} \frac{\partial s}{\partial \alpha_j} \quad (9)$$

其中  $\epsilon$  表示壳体变形后任一点的位移, 若以  $u, v, w$  分别表示任一点沿  $x_1, x_2, x_3$  方向的位移分量, 则有

$$\epsilon = ue_{x_1} + ve_{x_2} + we_{x_3}, \quad (10)$$

这些单位切向矢量与主曲率坐标间的微分关系, 用矩阵形式<sup>[13]</sup> 表示为

$$\begin{bmatrix} e_{x_1, x_1} \\ e_{x_1, x_2} \\ e_{x_1, x_3} \\ e_{x_2, x_1} \\ e_{x_2, x_2} \\ e_{x_2, x_3} \\ e_{x_3, x_1} \\ e_{x_3, x_2} \\ e_{x_3, x_3} \end{bmatrix} = \begin{bmatrix} 0 & -\frac{1}{k_1} g_{11, x_1} & -k_1 g_1 \\ 0 & \frac{1}{k_1} g_{21, x_1} & 0 \\ \frac{i}{k_1} g_{11, x_2} & 0 & 0 \\ -\frac{1}{k_1} g_{21, x_2} & 0 & -k_1 g_2 \\ k_1 g_1 & 0 & 0 \\ 0 & k_1 g_2 & 0 \end{bmatrix} \cdot \begin{bmatrix} e_{x_1} \\ e_{x_2} \\ e_{x_3} \end{bmatrix} \quad (11)$$

式中  $x_i (i = 1, 2)$  前的“,”表示对其求导的意思。

### 4. 壳体非线性应变分量的表达式

在壳体内若用  $g_1, g_2$  分别表示任一点沿  $x_1$  和  $x_2$  方向的拉密系数<sup>[14]</sup>, 则有

$$g_1 = A(1 + k_1 x_1), \quad g_2 = B(1 + k_2 x_2) \quad (12)$$

式中  $k_1 = 1/R_1$ ,  $k_2 = 1/R_2$  为壳体中面上的点沿  $x_1$ 、 $x_2$  方向的主曲率;  $A, B$  为壳体中面内任一点沿  $x_1$  及  $x_2$  方向的拉密系数<sup>[14]</sup>, 由于  $x_3$  为直线坐标, 而且此坐标因子一般为长度, 于是壳体内任一点都有

$$x_3 = 1 \quad (13)$$

由科达齐条件<sup>[14]</sup>可得

$$\begin{aligned} \frac{\partial g_1}{\partial x_1} &= \frac{\partial A}{\partial x_1} (1 + k_1 x_1), \\ \frac{\partial g_2}{\partial x_1} &= \frac{\partial B}{\partial x_1} (1 + k_1 x_1) \end{aligned} \quad (14)$$

把(10)式代入(9)式中, 并考虑(11)–(14)四式, 可得

$$\begin{aligned} \epsilon_{11} &= \frac{1}{2g_1^2} \left[ g_1 \frac{\partial s}{\partial x_1} + g_1 \frac{\partial s}{\partial x_1} + \frac{\partial s}{\partial x_1} \frac{\partial s}{\partial x_1} \right] \\ &= \frac{1}{g_1} \frac{\partial s}{\partial x_1} + \frac{1}{2g_1^2} \frac{\partial s}{\partial x_1} \frac{\partial s}{\partial x_1} \\ &= \frac{1}{A(1+k_1 x_1)} \left[ \frac{\partial u}{\partial x_1} + \frac{v}{B} \frac{\partial A}{\partial x_1} + Ak_1 w \right] \\ &\quad + \frac{1}{2[A(1+k_1 x_1)]^2} \left[ \left( \frac{\partial u}{\partial x_1} + \frac{v}{B} \frac{\partial A}{\partial x_1} + Ak_1 w \right)^2 + \left( \frac{\partial v}{\partial x_1} - \frac{u}{B} \frac{\partial A}{\partial x_1} \right)^2 \right. \\ &\quad \left. + \left( \frac{\partial w}{\partial x_1} - Ak_1 u \right)^2 \right] \end{aligned}$$

$$\begin{aligned}
&= \frac{1}{(1+k_1x_1)} \left[ \frac{1}{A} \frac{\partial u}{\partial x_1} + \frac{1}{AB} \frac{\partial A}{\partial x_1} v \right. \\
&\quad \left. + k_1 w \right] + \frac{1}{2(1+k_1x_1)^2} \left[ \left( \frac{1}{A} \frac{\partial u}{\partial x_1} \right. \right. \\
&\quad \left. + \frac{1}{AB} \frac{\partial A}{\partial x_1} v + k_1 w \right)^2 + \left( \frac{1}{A} \frac{\partial v}{\partial x_1} \right. \\
&\quad \left. - \frac{1}{AB} \frac{\partial A}{\partial x_1} u \right)^2 + \left( \frac{1}{A} \frac{\partial w}{\partial x_1} - k_1 v \right)^2 \right] \\
&\quad (15)
\end{aligned}$$

$$\begin{aligned}
r_{12} = 2s_{11} &= \frac{1}{g_1 \cdot g_2} \left[ g_1 \frac{\partial s}{\partial x} + g_2 \frac{\partial s}{\partial x_1} \right. \\
&\quad \left. + \frac{\partial s}{\partial x_1} \cdot \frac{\partial s}{\partial x_2} \right] \\
&= -\frac{1}{B(1+k_1x_1)} \left( \frac{\partial u}{\partial x_2} - \frac{v}{A} \frac{\partial B}{\partial x_1} \right) \\
&\quad + \frac{1}{A(1+k_1x_1)} \left( \frac{\partial v}{\partial x_1} - \frac{u}{B} \frac{\partial A}{\partial x_1} \right) \\
&\quad + \frac{1}{AB(1+k_1x_1)(1+k_2x_2)} \left[ \left( \frac{\partial u}{\partial x_1} \right. \right. \\
&\quad \left. - \frac{v}{A} \frac{\partial B}{\partial x_1} \right) \left( \frac{\partial u}{\partial x_1} + \frac{v}{B} \frac{\partial A}{\partial x_1} + Ak_1w \right) \\
&\quad + \left( \frac{\partial v}{\partial x_1} - \frac{u}{B} \frac{\partial A}{\partial x_1} \right) \left( \frac{\partial v}{\partial x_1} + Bk_1w \right. \\
&\quad \left. + \frac{u}{A} \frac{\partial B}{\partial x_1} \right) + \left( \frac{\partial w}{\partial x_1} - Ak_1v \right) \\
&\quad \times \left. \left( \frac{\partial w}{\partial x_1} - Bk_1v \right) \right] \\
&= -\frac{1}{1+k_1x_1} \left( \frac{1}{A} \frac{\partial v}{\partial x} - \frac{1}{AB} \frac{\partial A}{\partial x_1} u \right) \\
&\quad + \frac{1}{1+k_1x_1} \left( \frac{1}{B} \frac{\partial u}{\partial x_1} - \frac{1}{AB} \frac{\partial B}{\partial x_1} v \right) \\
&\quad + \frac{1}{(1+k_1x_1)(1+k_2x_2)} \left[ \left( \frac{1}{A} \frac{\partial u}{\partial x_1} \right. \right. \\
&\quad \left. + \frac{1}{AB} \frac{\partial A}{\partial x_1} v + k_1 w \right) \left( \frac{1}{B} \frac{\partial u}{\partial x_1} \right. \\
&\quad \left. - \frac{1}{AB} \frac{\partial B}{\partial x_1} v \right) + \left( \frac{1}{A} \frac{\partial w}{\partial x_1} - k_1 v \right) \\
&\quad \times \left. \left( \frac{1}{B} \frac{\partial w}{\partial x_1} - k_1 v \right) \right] \\
&\quad (16)
\end{aligned}$$

同理可得

$$\begin{aligned}
s_{22} &= -\frac{1}{1+k_1x_1} \left( \frac{1}{B} \frac{\partial v}{\partial x} + \frac{1}{AB} \frac{\partial B}{\partial x_1} u + k_1 w \right) \\
&\quad + \frac{1}{2(1+k_1x_1)^2} \left[ \left( \frac{1}{B} \frac{\partial v}{\partial x} \right. \right. \\
&\quad \left. - \frac{1}{AB} \frac{\partial B}{\partial x_1} v \right)^2 + \left( \frac{1}{B} \frac{\partial v}{\partial x_1} \right. \\
&\quad \left. + \frac{1}{AB} \frac{\partial B}{\partial x_1} u + k_1 w \right)^2 \\
&\quad \left. + \left( \frac{1}{B} \frac{\partial w}{\partial x_1} - k_1 v \right)^2 \right] \\
&\quad (17)
\end{aligned}$$

$$\begin{aligned}
s_{33} &= \frac{\partial w}{\partial x_1} + \frac{1}{2} \left[ \left( \frac{\partial u}{\partial x_1} \right)^2 + \left( \frac{\partial v}{\partial x_1} \right)^2 \right. \\
&\quad \left. + \left( \frac{\partial w}{\partial x_1} \right)^2 \right] \\
&\quad (18)
\end{aligned}$$

$$\begin{aligned}
r_{23} &= \frac{\partial v}{\partial x_1} + \frac{1}{1+k_1x_1} \left( \frac{1}{B} \frac{\partial w}{\partial x_1} - k_1 v \right) \\
&\quad + \frac{1}{1+k_1x_1} \left( \frac{1}{B} \frac{\partial u}{\partial x_1} - \frac{1}{AB} \frac{\partial B}{\partial x_1} v \right) \\
&\quad \times \frac{\partial u}{\partial x_1} + \frac{1}{1+k_1x_1} \cdot \left( \frac{1}{B} \frac{\partial v}{\partial x_1} \right. \\
&\quad \left. + \frac{1}{AB} \frac{\partial B}{\partial x_1} u + k_1 w \right) \frac{\partial v}{\partial x_1} \\
&\quad + \frac{1}{1+k_1x_1} \left( \frac{1}{B} \frac{\partial w}{\partial x_1} - k_1 v \right) \frac{\partial w}{\partial x_1} \\
&\quad (19)
\end{aligned}$$

$$\begin{aligned}
r_{31} &= \frac{\partial u}{\partial x_1} + \frac{1}{1+k_1x_1} \left( \frac{1}{A} \frac{\partial w}{\partial x_1} - k_1 u \right) \\
&\quad + \frac{1}{1+k_1x_1} \left( \frac{1}{A} \frac{\partial u}{\partial x_1} + \frac{1}{AB} \frac{\partial A}{\partial x_1} v \right. \\
&\quad \left. + k_1 w \right) \frac{\partial u}{\partial x_1} + \frac{1}{1+k_1x_1} \left( \frac{1}{A} \frac{\partial v}{\partial x_1} \right. \\
&\quad \left. - \frac{1}{AB} \frac{\partial A}{\partial x_1} u \right) \frac{\partial v}{\partial x_1} + \frac{1}{1+k_1x_1} \\
&\quad \times \left( \frac{1}{A} \frac{\partial w}{\partial x_1} - k_1 u \right) \frac{\partial w}{\partial x_1} \\
&\quad (20)
\end{aligned}$$

以上诸式就是壳体的非线性应变分量。若把应变分量中前一个角标号码写在右上方，后一个角标号码写在右下方，均用圆括弧括好；同时把坐标轴角标号码写在右上方，则与文[2]推出的结果完全一致。

平板是壳体的特殊情况，现以其为例，说明本文介绍的方法如何应用。若把曲线坐标  $\alpha_1, \alpha_2, \alpha_3$  换成直角坐标  $x, y, z$ ，位移分量用  $u, v, w$  表示，则平板的位移为

$$s = ue_x + ve_y + we_z$$

并将其矢基和度规系数的值列如下表：

$\alpha_i$	$x$	$y$	$z$
$g_i$	1	1	1
$g_{ij}$	1	1	1

由(9)式得

$$\begin{aligned}
s_{11} &= \frac{G_{xx} - g_{11}}{2\sqrt{g_{xx}g_{zz}}} = g_x \cdot \frac{\partial s}{\partial x} + \frac{1}{2} \frac{\partial s}{\partial x} \frac{\partial s}{\partial x} \\
&= e_x \cdot \left( \frac{\partial u}{\partial x} e_x + \frac{\partial v}{\partial y} e_y + \frac{\partial w}{\partial z} e_z \right) \\
&\quad + \frac{1}{2} \left( \frac{\partial u}{\partial x} e_x + \frac{\partial v}{\partial y} e_y + \frac{\partial w}{\partial z} e_z \right) \\
&\quad \cdot \left( \frac{\partial u}{\partial x} e_x + \frac{\partial v}{\partial y} e_y + \frac{\partial w}{\partial z} e_z \right) \\
&= \frac{\partial u}{\partial x} + \frac{1}{2} \left[ \left( \frac{\partial u}{\partial x} \right)^2 + \left( \frac{\partial v}{\partial x} \right)^2 + \left( \frac{\partial w}{\partial x} \right)^2 \right]
\end{aligned}$$

$$\begin{aligned}
\tau_{zz} &= \frac{G_{zz} - \epsilon_{zz}}{\sqrt{G_{xx}G_{yy}}} = \epsilon_z \frac{\partial z}{\partial y} + \epsilon_z \frac{\partial z}{\partial x} + \frac{\partial z}{\partial x} \cdot \frac{\partial z}{\partial y} \\
&= \epsilon_z \cdot \left( \frac{\partial u}{\partial y} \epsilon_x + \frac{\partial v}{\partial y} \epsilon_y + \frac{\partial w}{\partial y} \epsilon_z \right) \\
&\quad + \epsilon_z \cdot \left( \frac{\partial u}{\partial x} \epsilon_x + \frac{\partial v}{\partial x} \epsilon_y + \frac{\partial w}{\partial x} \epsilon_z \right) \\
&\quad + \left( \frac{\partial u}{\partial x} \epsilon_x + \frac{\partial v}{\partial x} \epsilon_y + \frac{\partial w}{\partial x} \epsilon_z \right) \\
&\quad \cdot \left( \frac{\partial u}{\partial y} \epsilon_x + \frac{\partial v}{\partial y} \epsilon_y + \frac{\partial w}{\partial y} \epsilon_z \right) \\
&= \frac{\partial v}{\partial x} + \frac{\partial w}{\partial y} + \frac{\partial u}{\partial x} \frac{\partial u}{\partial y} + \frac{\partial v}{\partial x} \frac{\partial v}{\partial y} + \frac{\partial w}{\partial x} \frac{\partial w}{\partial y}
\end{aligned} \tag{22}$$

同理可得

$$\sigma_{zz} = \frac{\partial v}{\partial y} + \frac{1}{2} \left[ \left( \frac{\partial u}{\partial y} \right)^2 + \left( \frac{\partial v}{\partial y} \right)^2 + \left( \frac{\partial w}{\partial y} \right)^2 \right] \tag{23}$$

$$\sigma_{zz} = \frac{\partial w}{\partial x} + \frac{1}{2} \left[ \left( \frac{\partial u}{\partial x} \right)^2 + \left( \frac{\partial v}{\partial x} \right)^2 + \left( \frac{\partial w}{\partial x} \right)^2 \right] \tag{24}$$

$$\begin{aligned}
\tau_{zz} &= \frac{\partial v}{\partial x} + \frac{\partial w}{\partial y} + \frac{\partial u}{\partial y} \frac{\partial u}{\partial x} + \frac{\partial v}{\partial y} \frac{\partial v}{\partial x} \\
&\quad + \frac{\partial w}{\partial y} \frac{\partial w}{\partial x}
\end{aligned} \tag{25}$$

$$\begin{aligned}
\tau_{zz} &= \frac{\partial u}{\partial x} + \frac{\partial w}{\partial x} + \frac{\partial u}{\partial x} \frac{\partial u}{\partial x} + \frac{\partial v}{\partial x} \frac{\partial v}{\partial x} \\
&\quad + \frac{\partial w}{\partial x} \frac{\partial w}{\partial x}
\end{aligned} \tag{26}$$

如果在(15)–(26)诸式中,令  $k_1 = k_2 = 0$ ,  $A = B = 1$ ,  $x_1 = x$ ,  $x_2 = y$ ,  $x_3 = z$ , 则得平板的非线性应变分量的表达式<sup>[5]</sup>,如(21)–(26)所表示的一样,这与文[2]所得的结果完全相同。

由此可见,这种讲法有其独特之处,不仅概念清晰,深入浅出,学生容易接受,而且培养了学生的能力,开发了学生的智力,有利于自学,有利于创新。若配以圆筒形壳体非线性应变分量的算例加以讨论,则学生收获更大。

## 参 考 文 献

- [1] 陶启坤,壳体的非线性应变分量,应用数学和力学,3,4(1982),505—511。
- [2] 欧茂材,关于壳体的非线性应变分量,重庆科技情报所(1990),1—12。
- [3] Новожилов, В. В., Основы нелинейной теории упругости (1948)。
- [4] 陈铁云等,弹性薄壳力学,华中工学院出版社(1983),5—32。
- [5] 刘北辰,非线性弹性力学,西南师范大学出版社(1988) 84—86。

# 论杠杆定律与力平行四边形定律的等效

吕 茂 烈  
(西北工业大学)

## 引言

在文[1]中作者提出了力平行四边形定律的两种新证明。其一为分析证明,另一为几何证明。分析证明中出现一个谐振动微分方程,这对学过高等数学的大学生说并不难于理解。但是,我们希望有一种能为中学生接受的证明。文[1]中的几何证明只用到平面几何知识,它就是为了这个目的而设计的。不过现在来看,这个证明还不够紧凑。尤其是证明中虽已得出杠杆定律的反比关系,却未强调这个关系和力平行四边形定律之间的等效。从理论的完美性和彻底性来看,这就未免有所不足。作为弥补,本文提出一种改进的证明。

事实上,力平行四边形定律与杠杆定律完全等效,并且由前者可以毫无困难地导出后者。但是,相反,要从杠杆定律导出力平行四边形定律却颇费一番思考。本文给出的新证明正是这种思考的结果。

## 力学与实践

## 根据

文[1]流传不广,此处重述其立论的出发点。

人们最初由重量的比拟获得了力的概念。自然界仅存在分布力。由分布力转到集中力时产生了力合成的概念。力的合成仅能在刚体内进行,这里必须默认力在刚体中的可传性。显然,力的可传性与欧氏空间的均匀性相协调。

力有方向。刚体内共线力合成时,同向相加,反向相减,等值相交两力的合力沿此两力交角的平分线。显然,这种对称性与欧氏空间的各方同性相协调。

力的合成具可逆性,服从交换、结合律。

可传性、对称性和可逆性是力间等效的出发点。“三性”替代了静力学的有关几个公理,包括二力平衡公理和平衡力系取舍公理。文[1]基于“三性”提出了力平行四边形公理的两种新证明。故“三性”也取代了力平行四边形定律的公理地位。